



طراحی قانون هدایت مقاوم سه بعدی با رویکرد برنامه ریزی پویای تطبیقی و درنظر گرفتن اشباع ورودی

سعید خان کلانتری، ایمان ایزدی*، فرید شیخ الاسلام

دانشکده مهندسی برق و کامپیوتر، دانشگاه صنعتی اصفهان، اصفهان، ایران

تاریخچه داوری:

دریافت: ۱۳۹۸/۰۵/۰۵

بازنگری: ۱۳۹۸/۰۶/۱۶

پذیرش: ۱۳۹۸/۰۶/۳۱

ارائه آنلاین: ۱۳۹۸/۰۷/۲۱

کلمات کلیدی:

قانون هدایت

رهگیری

کنترل مقاوم

برنامه ریزی پویای تطبیقی

خلاصه: در این مقاله، قانون هدایت مقاوم در فضای سه بعدی برای هدایت رهگیر زمین به هوا با درنظر گرفتن محدودیت اشباع در ورودی های سیستم به همراه دینامیک مرتبه اول برای سیستم خودخلبان به منظور ارتقاء عملکرد سیستم های تدافعی ارائه می شود. برای دست یابی به این هدف، ابتدا مسئله موردمطالعه در دستگاه مختصات سه بعدی کروی مدل سازی شده و پس از آن با استفاده از اصول هندسه در گیری برای دست یابی به برخورد رهگیر و هدف،تابع هزینه مناسب با درنظر گرفتن محدودیت ورودی و عدم اطلاع از شتاب هدف، فرمول بندی می شود. پس از آن نشان داده می شود که حل مسئله موردنظر با استفاده از ادبیات طراحی کنترل مقاوم، نیازمند حل نامساوی معادله دیفرانسیلی همیلتون - زاکوبی - ایزاک است که برای مسئله موردمطالعه جواب بسته ندارد. از این رو برای غلبه بر این مشکل، با استفاده از نظریه برنامه ریزی پویای تطبیقی، یک الگوریتم حل مسئله برای طراحی قانون هدایت مقاوم پیشنهاد می شود که از ویژگی های آن، ساده شدن حل نامساوی دیفرانسیلی به همراه تضمین عملکرد مقاوم کننده در مقابل شتاب هدف است. شبیه سازی های انجام شده برای اهداف با قدرت مانورهای مختلف و مقایسه عملکرد قانون پیشنهادی با روش مرسوم هدایت تناسی افزوده شده، نشان دهنده کارایی مناسب قانون هدایت مقاوم سه بعدی طراحی شده است.

۱- مقدمه

خطی شده با شرایط هدف فاقد مانور و رهگیر دارای سرعت ثابت و برای دسته خاصی از توابع هزینه، بهینه محسوب می شود [۱]؛ اما علی رغم مزیت های مطرح شده، این قانون هدایت در مواجهه با اهداف با قدرت مانور بالا عملکرد مناسبی ندارد [۲].

садگی در طراحی، عدم نیاز به اطلاعات فراوان پیرامون ورودی های اختشاشی و نامعینی های سیستم از جمله مزیت های طراحی کنترل کننده با استفاده از فیدبک ناهموار مد لغزشی^۳ است [۳]. شتسیل و همکاران^۴ به طراحی کنترل مدل لغزشی مرتبه دوم برای سیستم هدایت رهگیر زمین به هوا بر مبنای صفر شدن نرخ چرخش خط دید^۵ پرداخته اند. اگرچه با افزایش مرتبه کنترل کننده مقدار لرزش در سیگنال کنترلی به طور چشمگیری کاهش می یابد، اما کما کان این طراحی مهم ترین مشکل موجود برای کنترل مد لغزشی، یعنی پدیده لرزش^۶ را در پیاده سازی خواهد داشت. در واقع برای پیاده سازی این کنترل کننده نیاز به محرک هایی با فرکانس کاری بسیار بالا

اصول اساسی طراحی قانون هدایت برای رهگیر های زمین به هوا در فاز نهایی حرکت، موضوعی شناخته شده در ادبیات سیستم های کنترل است که هدف اصلی از طراحی آن، دست یابی به کمترین فاصله ممکن با هدف تحت تعقیب می باشد. افزایش گریز پذیری اهداف مختلف در سالیان اخیر، در کنار پیچیدگی های دینامیکی و محدودیت های عملکردی و لزوم درنظر گرفتن وابستگی کanal های حرکتی رهگیر و محدودیت های فیزیکی به منظور افزایشی چابکی رهگیر و در نتیجه آن نیاز به دقت بیشتر، چالش های جدی را برای طراحی قانون هدایت مناسب به وجود آورده است.

قانون هدایت مسیریابی تناسبی^۷ از جمله ابتدایی ترین و موفق ترین روش های کنترل رهگیر های زمین به هوا است. سادگی در پیاده سازی، کاربرد برای انواع رهگیر های مختلف و تاریخچه مناسب موفقیت از جمله ویژگی های مهم این روش است. این قانون ساده، برای معادلات موقعیت

3 Sliding mode

4 Shtessel et al.

5 Line of sight

6 Chattering

1 Interceptor

2 Proportional navigation

* نویسنده عهده دار مکاتبات: iman.izadi@cc.iut.ac.ir

حقوق مؤلفین به نویسنده گان و حقوق ناشر به انتشارات دانشگاه امیرکبیر داده شده است. این مقاله تحت لیسانس آفرینندگی مردمی (Creative Commons License) در دسترس شما قرار گرفته است. برای جزئیات این لیسانس، از آدرس <https://www.creativecommons.org/licenses/by-nc/4.0/legalcode> دیدن فرمائید.



با منطق فازی^۷ با روش معروف و متداول مسیریابی تنسیسی پرداخته‌اند. نتایج به دست آمده نشان می‌دهد که روش فازی، میزان سوت و شتاب کمتری نسبت به روش مطرح شده برای اصابت به هدف نیاز دارد. چن و همکاران^۸ [۱۰] پیشنهاد دادند که به عنوان یک مسیر میانبر برای طراحی H_{∞} ، معادلات دینامیکی سیستم ابتدا با استفاده از روش فازی تاکاگی - سوگنو^۹ تکه‌ای پیوسته شوند و سپس با استفاده از نامساوی‌های ماتریسی، کنترل کننده مقاوم خطی محلی برای دست‌یابی به قانون هدایت طراحی شود. این روش مزایای کنترل کننده مقاوم غیرخطی را به طور محلی دارد و در ضمن، پیچیدگی طراحی آن در قیاس با روش غیرخطی کمتر است اما نیازمند طراحی ۱۸ قانون فیدبک است که از نظر محاسباتی منطقی نیست. به علاوه، در صورتی که مقدار متغیرهای فازی، خارج از بازه‌های تعیین شده قرار گیرند، در این حالت کنترل کننده عملکرد مطلوبی نخواهد داشت.

استفاده از روش کنترل مقاوم H_{∞} ، که در آن نیازی به اندازه‌گیری شتاب جسم هدف نبوده و قانون هدایت طراحی شده نسبت به آن مقاوم باشد، مورد توجه محققان در این حوزه قرار گرفته است. یانگ و چن^{۱۰} [۱۱] با استفاده از کنترل کننده غیرخطی H_{∞} ، به طراحی قانون هدایت در صفحه دو بعدی پرداخته‌اند که مهم‌ترین ویژگی طراحی آن‌ها، حل نامساوی همیلتون - ژاکوبی - ایزاک^{۱۱} است. همچنین آن‌ها، دو قید مهم کاهش فاصله و عدم چرخش خط دید را نیز، با استفاده از توابع هزینه لحاظ کرده‌اند. ساوکین و همکاران^{۱۲} [۱۲] به طراحی کنترل کننده خطی برای مسئله هدایت با درنظر گرفتن زاویه دلخواه برای برخورد رهگیر به هدف پرداخته‌اند. با این حال، نقطه ضعف بزرگ مقاله، خطی بودن مدل درنظر گرفته شده برای طراحی قانون هدایت است که با توجه به خاصیت محلی بودن کنترل کننده طراحی شده در شرایط شدیداً غیرخطی سیستم، رهگیر عملکرد مناسبی را از خود نشان نخواهد داد. شیه^{۱۳} [۱۳] طراحی کنترل کننده مقاوم تنظیم‌پذیر برای مسئله هدایت رهگیر زمین به هوا را به صورت تحلیلی انجام داده است. نکته قابل توجه برای این مقاله، طراحی قانون کنترل بدون استفاده از نامساوی همیلتون - ژاکوبی - ایزاک است بدین صورت که قانون کنترل پیشنهاد شده و پس از آن شرایط بهینگی بررسی شده است، که البته این مسئله نقطه ضعف بزرگ مقاله نیز می‌تواند محسوب شود، زیرا راه حل ارائه شده با سعی و خطا

خواهد بود که با توجه به محدودیت‌های حرکتی رهگیر، این مسئله امکان‌پذیر نیست. از جمله روش‌هایی که برای کاهش مقدار لرزش در کنترل کننده‌های مدل غزشی در طراحی قانون هدایت استفاده شده است، تخمین کران بالای نامعینی (در این مسئله شتاب هدف) است. فادک و تالول^۱ [۵] پس از طراحی کنترل کننده مدل غزشی، از الگوریتم کنترل زمان تأخیر برای تخمین شتاب هدف و در نتیجه کاهش محافظه کاری روش استفاده شده بهره بردند. با این حال، استفاده از یک رؤیت‌گر در حلقة قانون هدایت خطر کندشدن سیستم و عدم اصابت رهگیر به هدف را در پی خواهد داشت، زیرا در فاز نهایی تعقیب هدف، رهگیر بایستی توانایی انجام مانورهای سریع را داشته باشد. با پیشرفت مباحث تئوری مربوط به کنترل مدل غزشی، لی و همکاران^{۱۴} [۶] از رؤیت‌گر مدل غزشی مرتبه بالا برای تخمین شتاب هدف استفاده کرده‌اند. همچنین از نکات مثبت مربوط به این مقاله، درنظر گرفتن دینامیک برای سیستم خودخلبان^{۱۵} به همراه نامعینی برای آن است. ژانگ و همکاران^{۱۶} [۷] برای به صفر رساندن نرخ زاویه خط دید یا رساندن زاویه خط دید به مقدار دلخواه، از کنترل مدل غزشی انتگرالی به همراه رؤیت‌گر مرتبه بالا برای تخمین شتاب هدف استفاده کرده‌اند. دو مسئله در این مقاله مطرح است: نکته اول در این مقاله آن است که با توجه به سطح لغزش انتخابی، لزوماً فاصله نسبی رهگیر با هدف صفر نمی‌شود، چنان‌که در شبیه‌سازی‌ها این مسئله آورده نشده است. همچنین مانند لی و همکاران^{۱۶} [۶] لزومی به تنظیم زاویه خط دید دیده نمی‌شود، زیرا در فرمول‌بندی استفاده شده، حالت‌های حرکتی مختلفی را برای صفرشدن سطح لغزش می‌توان در نظر گرفت بدون آن که هدف مسئله یعنی برخورد برآورده شود. نکته‌ای که باید بدان توجه کرد این است که مقاالت اشاره شده، همگی در فضای دو بعدی (صفحه‌ای) و با فرض عدم واپشتگی کانال‌های حرکتی رهگیر به طراحی قانون هدایت پرداخته‌اند، این در حالی است که سونگ و سونگ^{۱۷} [۸] به طراحی قانون هدایت سه‌بعدی با استفاده از کنترل مدل غزشی انتگرالی و ترکیب آن با کنترل تطبیقی جهت کاهش محافظه کاری طراحی در تخمین کران بالای شتاب هدف پرداخته‌اند. البته با توجه به حذف دینامیک مربوط به فاصله نسبی در این مقاله و کاهش ابعاد مسئله، بایستی صفرشدن فاصله رهگیر و هدف نیز علاوه بر نرخ زاویه‌های سمت و فراز موردنیزی قرار می‌گرفت که این گونه نیست.

راجاسخار و سریناتها^{۱۸} [۹] به مقایسه روش استفاده از کنترل کننده

7 Fuzzy logic

8 Chen et al.

9 Takagi-Sugeno

10 Yang and Chen

11 Hamilton – Jacobi – Isaacs (HJI)

12 Savkin et al.

13 Shieh

1 Phadke and Talole

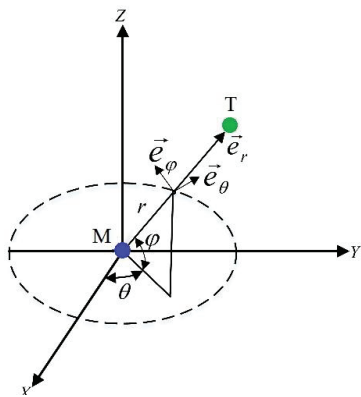
2 Li et al.

3 Autopilot

4 Zhang et al.

5 Song and Song

6 Rajasekhar and Sreenatha



شکل ۱: هندسه تعقیب - گریز در مختصات سه بعدی کروی

Fig. 1. Pursuit-evasion geometry in the three-dimensional spherical coordinate system

ادامه مقاله بدين صورت تنظيم شده است: در بخش دوم فرمول بندی مسئله موردمطالعه در فضای سه بعدی کروی ارائه می شود. پس از آن تابع هزینه مربوط به شرایط برخورد، در حضور قیود دلخواه ارائه می گردد. در بخش سوم به ارائه راه حل برنامه ریزی پویای تطبیقی می پردازیم. بخش های چهارم و پنجم نیز به شبیه سازی و نتیجه گیری روش ارائه شده اختصاص داده شده اند.

۲- بیان مسئله

در این بخش، ابتدا به مدل سازی هندسه تعقیب - گریز برای رهگیر زمین به هوا و هدف موردنظر پرداخته می شود و پس از آن مسئله برخورد در قالب یک مسئله کنترل مقاوم غیرخطی به همراه قیود اشباع در ورودی ها فرمول بندی می شود.

۲-۱- مدل سازی

شکل ۱ هندسه تعقیب - گریز را در فضای سه بعدی کروی نشان می دهد که در آن، منظور از \vec{r} بردار موقعیت نسبی در امتداد خط دید است [۱۷]. با مشتق گیری از \vec{r} ، سرعت نسبی در سه بعد به صورت رابطه (۱) خواهد بود

$$\dot{\vec{r}} = \dot{r}\vec{e}_r + r\dot{\theta}\cos(\varphi)\vec{e}_\theta + r\dot{\varphi}\vec{e}_\varphi \quad (1)$$

که در آن مقادیر θ ، φ و r به ترتیب زاویه های سمت، فراز و فاصله نسبی هستند و در شکل ۱ نیز مشخص شده اند.

به دست آمده و قابلیت ارائه برای مسئله مشابه با تغییرات کم را ندارد. یانگ و چن [۱۶] مسئله در سه بعد با طراحی قانون هدایت مقاوم برای آن را موردنظری قرار داده اند. اگرچه این مقاله به دلیل حل تحلیلی مسئله نامعینی کنترل مقاوم از جایگاه ویژه ای برخوردار است اما مسائل مهمی که خود را در پیاده سازی واقعی سیستم نشان می دهند، مانند محدودیت شتاب ورودی ها و دینامیک سیستم خودخلبان، در فرآیند طراحی لحاظ نشده است. از مهم ترین مقالاتی که از برنامه ریزی پویای تطبیقی^۱ برای حل مسئله کنترل مقاوم غیرخطی استفاده کرده اند، می توان به کارهای سان و همکاران^۲ و [۱۶] اشاره کرد. از مهم ترین نکات در نظر گرفته شده می توان به برخاطبودن قوانین طراحی و اعمال قید اشباع ورودی اشاره کرد، اما مهم ترین مسئله ای که این پژوهش را از دو مرجع مطرح شده متمایز می کند، طراحی در فضای سه بعدی و در نظر گرفتن دینامیک های مربوط به سیستم خودخلبان است که در مراجع فوق موردنظری قرار نگرفته اند. در تمامی مقالات اشاره شده هیچ گاه موارد مهم اشباع ورودی، دینامیک خودخلبان، طراحی در فضای سه بعدی و مقاومت نسبت به شتاب جسم هدف، در قالب یک مسئله طراحی قانون هدایت بررسی نشده اند که این موارد در این پژوهش در نظر گرفته شده است. در این مقاله، هدف طراحی کنترل کننده مقاوم با در نظر گرفتن دینامیک خودخلبان در حضور اشباع ورودی ها برای سیستم هدایت رهگیر زمین به هوا است. در ابتدا، مدل سازی مناسب مسئله در مختصات تعقیب - گریز^۳ برای رهگیر و هدف در فضای سه بعدی کروی ارائه می شود. پس از آن و برای برقراری شرایط برخورد، با در نظر گرفتن شتاب هدف به عنوان اغتشاش خارجی و قید اشباع موجود در ورودی های سیستم،تابع هزینه مناسب استخراج می شود. حل مسئله بازی مجموع صفر به دست آمده، معادل حل نامساوی دیفرانسیلی همیلتون - ژاکوبی - ایزاک خواهد بود که به علت پیچیدگی ناشی از دینامیک های غیرخطی سیستم و قیود، دارای جواب بسته نخواهد بود. لذا در ادامه با استفاده از برنامه ریزی پویای تطبیقی، تابع مقدار موجود در نامساوی همیلتون - ژاکوبی - ایزاک با استفاده از شبکه عصبی تقریب زده می شود. وزن های موجود در شبکه عصبی با استفاده از یک الگوریتم برون خط محاسبه شده و با استفاده از آن ها ورودی کنترلی مناسب به دست خواهد آمد. برای بررسی کارایی قانون هدایت به دست آمده، عملکرد آن با قانون هدایت تناوبی افزوده شده^۴ برای رسیدن به اجسام با قدرت مانور بالا مقایسه می شود.

1 Adaptive dynamic programming

2 Sun et al.

3 Pursuit-evasion

4 Augmented Proportional Navigation (APN)

$$x(t) = \begin{bmatrix} x_1 & x_2 & x_3 & x_4 & x_5 & x_6 & x_7 & x_8 & x_9 \end{bmatrix}^T = \\ \begin{bmatrix} r & \theta & \varphi & V_r & V_\theta & V_\varphi & u_{Mr} & u_{M\theta} & u_{M\varphi} \end{bmatrix}^T$$

$$f(x) = \begin{bmatrix} x_4, \frac{x_5}{x_1 \cos(x_3)}, \frac{x_6}{x_1}, \frac{(x_5^2 + x_6^2)}{x_1} \\ -x_7, \frac{-x_4 x_5 + x_5 x_6 \tan(x_3)}{x_1} - x_8, \\ \frac{-x_4 x_6 - x_5 x_5 \tan(x_3)}{x_1} - x_9, \frac{-x_7}{\tau}, \frac{-x_8}{\tau}, \frac{-x_9}{\tau} \end{bmatrix}^T \quad (5)$$

$$g(x) = \frac{1}{\tau} \begin{bmatrix} 0_{3 \times 3} \\ 0_{3 \times 3} \\ I_{3 \times 3} \end{bmatrix}, k(x) = \begin{bmatrix} 0_{3 \times 3} \\ I_{3 \times 3} \\ 0_{3 \times 3} \end{bmatrix}$$

$$u(t) = \begin{bmatrix} u_r \\ u_\theta \\ u_\varphi \end{bmatrix}, d(t) = \begin{bmatrix} w_r \\ w_\theta \\ w_\varphi \end{bmatrix}$$

که در آن منظور از 0 و I به ترتیب ماتریس صفر و واحد با ابعاد مناسب است.

با استفاده از فرمول‌بندی انجام‌شده در فضای سه‌بعدی برای مسئله برخورد، می‌توان شرایط مختلف رهگیر و هدف، مانند قرارگرفتن در صفحات مختلف، قدرت مانور متفاوت هدف و تغییرات در دینامیک سیستم خودخلبان، را مورد مطالعه قرار داد.

۳- فرمول‌بندی شرایط برخورد

در طراحی یک قانون هدایت مناسب:

۱- بایستی هم‌زمان کاهش فاصله بین رهگیر و هدف ($x_1 \rightarrow 0$) و به صفر رساندن سرعت نسبی در راستای محورهای θ و φ ($x_5, x_6 \rightarrow 0$) موردنوجه قرار گیرد. برقراری این شرایط باعث می‌شود که رهگیر و هدف در موقعیت برخورد مستقیم قرار گرفته و در فاز پایانی با فعال شدن حسگرهای تشخیص مجاورت، برخورد با هدف صورت گیرد.

۲- از آنجایی که هدف موردنظر در این کاربرد می‌تواند قدرت مانور زیادی داشته باشد، و ممکن است مشکلاتی در اندازه‌گیری دقیق این مقدار وجود داشته باشد، قانون هدایت باید مجباً از شتاب هدف طراحی شود. بدین‌وسیله، قانون هدایت طراحی شده نسبت به این اختشاش خارجی مقاوم خواهد بود.

۳- علاوه بر موارد مطرح شده، مسئله مهم دیگر محدودیت در دامنه و انرژی شتاب رهگیر است، زیرا با افزایش ارتفاع از سطح زمین توانایی مانوردهی رهگیر کاهش یافته و برخورد بایستی با کمترین مقدار مصرف انرژی صورت گیرد؛ بنابراین در مسئله این مقاله وجود قید اشباع ورودی

با مشتق‌گیری از طرفین رابطه (۱)، شتاب‌های نسبی سیستم به صورت رابطه (۲) به دست خواهد آمد.

$$\begin{cases} \ddot{r} - r\dot{\varphi}^2 - r\dot{\theta}^2 \cos^2(\varphi) = w_r - u_{Mr} \\ r\ddot{\theta} \cos \varphi + 2r\dot{\theta}\dot{\varphi} \cos(\varphi) - 2r\dot{\varphi}\dot{\theta} \sin(\varphi) = w_\theta - u_{M\theta} \\ r\ddot{\varphi} + 2r\dot{\theta}\dot{\varphi} + r\dot{\theta}^2 \cos(\varphi) \sin(\varphi) = w_\varphi - u_{M\varphi} \end{cases} \quad (2)$$

که در این معادله، w_r ، w_θ و w_φ مؤلفه‌های شتاب جسم هدف مشخص شده در شکل ۱ هستند. اگرچه رابطه (۲) به خوبی توصیف کننده موقعیت تعییب-گریز می‌باشد، اما در پیاده‌سازی واقعی مابین فرمان شتاب اعمالی به رهگیر و شتاب واقعی آن تفاوت وجود دارد که ناشی از ایده‌آل‌بودن سیستم خودخلبان است. در اکثر هدف‌ها، شتاب جانبی در خواستی توسط مرکز هدایت با دینامیک مشخصی که وابسته به پارامترهای مانند ساختار هدف، شرایط حرکتی و سیستم کنترل به کار رفته است، به شتاب واقعی تبدیل می‌شود. در حالت کلی، این دینامیک غیرخطی و پیچیده است. لذا در اغلب موارد طراحی قانون هدایت، از دینامیک‌های مرتبه اول و یا دوم برای مدل‌کردن این دینامیک استفاده می‌شود که از آن به دینامیک خودخلبان تعییر می‌شود. بنابراین، با درنظر گرفتن دینامیک‌های مرتبه اول برای سیستم خودخلبان خواهیم داشت

$$\begin{cases} \tau \dot{u}_{Mr} + u_{Mr} = u_r \\ \tau \dot{u}_{M\theta} + u_{M\theta} = u_\theta \\ \tau \dot{u}_{M\varphi} + u_{M\varphi} = u_\varphi \end{cases} \quad (3)$$

که در این معادله، u_r ، u_θ و u_φ مؤلفه‌های کنترلی شتاب رهگیر، τ ثابت زمانی سیستم خودخلبان است. با درنظر گرفتن $V_r = \dot{r}$ ، $V_\varphi = r\dot{\varphi} = r\dot{\theta} \cos(\varphi)$ و $V_\theta = r\dot{\theta} \cos(\varphi)$ رابطه‌های (۲) و (۳) به صورت فضایی حالت رابطه (۴) تبدیل خواهد شد.

$$\dot{x}(t) = f(x) + g(x)u(t) + k(x)d(t) \quad (4)$$

که در آن بردار حالت (t) ، میدان برداری $f(x)$ ، بردار شتاب رهگیر $d(t)$ و بردار شتاب هدف $u(t)$ به صورت رابطه (۵) تعریف می‌شود.

$$H(x, V_x, u, d) = V_x^T (f + gu + kd) + h^T h + \|u\|^2 - \gamma^2 \|d\|^2 \quad (7)$$

که در آن $k_1 x_1^2 + k_2 x_5^2 + k_3 x_6^2$ است. برای به دست آوردن قانون کنترل بایستی تابع مقدار و $V_x = \frac{\partial V}{\partial x}$ را ایستای تابع همیلتونین محاسبه شوند یعنی:

$$\begin{aligned} & \min_{u \in U} \max_d H(x, V_x, u, d) \\ & \max_d \min_{u \in U} H(x, V_x, u, d) \end{aligned} \quad (8)$$

برای حل مسئله کنترل بهینه کلاسیک، یک پاسخ بهینه و در واقع یک نقطه کمینه برای تابع هزینه به دست می‌آید، اما در مسائل بازی تفاضلی که از آن‌ها تعبیر به مسئله بهینه دوطرفه می‌شود، یک پاسخ بهینه برای ورودی و یک پاسخ بهینه برای اغتشاش به دست می‌آید و تابع هزینه در نقطه پاسخ‌های بهینه به صورت زینی خواهد بود. در واقع رابطه (8) شامل دو معادله جهت یافتن پاسخ‌های بهینه برای ورودی و اغتشاش است. منظور از $u \in U$ قوانین کنترلی است که در ناحیه شدنی تعریف شده در رابطه (6) قرار گیرند؛ اما همان‌طور که مشاهده می‌شود محاسبه رابطه (8) نیازمند حل بهینه‌سازی مقید است که برای مسئله تعریف شده در این مقاله (و بسیاری مسائل دیگر) قابلیت حل ندارد؛ بنابراین قدم اول در حل مسئله بازی مجموع صفر تعریف شده مواجهه با قیود اشباع ورودی‌ها و تبدیل مسئله به یک مسئله نامقید می‌باشد. ابوجلف و لویس^۱، برای دلالت‌دادن قید اشباع ورودی‌ها پیشنهاد داده‌اند که به جای تعریف نرم، از شبکه‌نرم رابطه (9) استفاده شود.

$$\|u\|_q^2 = 2 \int_0^u \phi^{-1}(v) dv = \sum_{k=1}^m 2 \int_0^{u_k} \phi^{-1}(v) dv \quad (9)$$

در این رابطه ϕ^{-1} یک تابع اکیداً افزایشی است که در این صورت به عنوان نمونه، تابع $\tanh(v)$ می‌تواند باشد. شبکه‌نرم تعریف شده تمامی خاصیت‌های نرم عادی را غیر از خاصیت همگنی دارا می‌باشد [۱۹]. با این تعریف، تابع همیلتونین تعریف شده در رابطه (7) به صورت رابطه (1۰) بازنویسی خواهد شد.

و محدودیت در انرژی مصرفی از اهمیت خاصی برای نویسنده‌گان برخوردار بوده و لذا این موارد نیز بایستی در طراحی قانون هدایت مدنظر قرار گیرند. همچنین از دیگر موارد مهم در این طراحی، مقاوم‌بودن قانون هدایت به دست آمده نسبت به تغییرات دینامیکی در سیستم خودخلبان است. با در نظر گرفتن موارد مطرح شده، فرمول‌بندی بازی مجموع صفر به صورت رابطه (6) ارائه می‌شود به طوری که تمامی خواسته‌های طراحان سیستم را برآورده کند.

$$\begin{aligned} & \int_0^\infty J(x, u, d) dt = \\ & \int_0^\infty (k_1 x_1^2 + k_2 x_5^2 + k_3 x_6^2 + u^T u - \gamma^2 d^T d) dt \\ & \text{s.t. } \begin{cases} \dot{x}(t) = f(x) + g(x)u(t) + k(x)d(t) \\ |u_r(t)| \leq \beta_1 \\ |u_\theta(t)| \leq \beta_2 \\ |u_\phi(t)| \leq \beta_3 \end{cases} \end{aligned} \quad (6)$$

در بازی با مجموع صفر، هدف اغتشاش بیشینه کردن تابع هزینه و هدف کنترل، کمینه کردن آن است. بنابراین تابع هزینه در رابطه (6) را می‌توان به صورت زیر تفسیر کرد:
یا باید ورودی کنترلی را که تابع هزینه‌ای را که تحت تأثیر بیشینه کننده‌ترین اغتشاش قرار دارد کمینه کند.

این همان عملکرد کنترل H_∞ است. همچنین، در این معادله، β_i مشخص کننده حد تلاش کنترلی، k_i پارامتر آزاد مشخص کننده وزن متغیرهای سیستم و γ پارامتر آزاد مشخص کننده میزان تضعیف اغتشاش خارجی (شتاب هدف) می‌باشد.

در قسمت بعدی این مقاله به حل مسئله فوق با استفاده از برنامه‌ریزی پویای تطبیقی و طراحی قانون هدایت مقاوم می‌پردازیم.

۴- طراحی قانون هدایت مقاوم

برای مسائل بهینه‌سازی دینامیکی، استفاده از تابع همیلتونین متدائل‌ترین شیوه برای یافتن پاسخ بهینه است لذا برای حل مسئله بازی مجموع صفر مطرح شده، ابتدا تابع همیلتونین را به صورت رابطه (7) تشکیل می‌دهیم [۱]:

این کنترل کننده به عنوان شرایط اولیه مجدداً در حلقه داخلی برای به دست آوردن اغتشاش وتابع مقدار به روز شده استفاده می‌شود.

اگرچه حل رابطه (۱۲) از همیلتون - ژاکوبی - ایزاک داده شده در رابطه (۱۱) ساده‌تر است، اما هنوز در فرآیند تکراری داده شده پیچیدگی در محاسبه

(x) وجود دارد، لذا برای کاهش این پیچیدگی از شبکه عصبی برای تقریب جواب تابع مقدار رابطه (۱۲) استفاده شده است [۲۱]. در این مرجع تقریب تابع مقدار به صورت رابطه (۱۴) در نظر گرفته شده است.

$$\hat{V}_j^i(x) = \sum_{k=1}^L w_{j,k}^i \sigma_k(x) = \left(w_j^i \right)^T \sigma_L(x) \quad (14)$$

که در آن:

$$\begin{aligned} \sigma_L(x) &= [\sigma_1(x) \quad \sigma_2(x) \quad \dots \quad \sigma_L(x)]^T \\ w &= [w_1 \quad w_2 \quad \dots \quad w_L]^T \end{aligned} \quad (15)$$

است. اگرچه می‌توان از توابع فعال‌ساز مانند $\tanh(\cdot)$ و سیگموئید در شبکه عصبی استفاده نمود، اما پیچیدگی حاصل شده در محاسبات پارامترهای شبکه عصبی نویسندها را بر آن داشته است که از توابع فعال‌ساز چندجمله‌ای بپرسید. اثبات شده است که وزن‌های شبکه عصبی پیشنهاد شده را می‌توان با استفاده از رابطه حداقل مربعات رابطه (۱۶) به دست آورد.

$$w_j^i = -\left(\left(X_j^i \right)^T X_j^i \right)^{-1} \left(X_j^i Y_j^i \right) \quad (16)$$

که در این رابطه برای محاسبه X_j^i و Y_j^i ابتدا بایستی p نقطه مجزا در ناحیه قرارگیری حالت‌های سیستم در نظر گرفت و با استفاده از آن‌ها، ماتریس‌های موردنظر را به صورت رابطه (۱۷) محاسبه کرد.

$$\begin{aligned} X_j^i &= \left[\nabla \sigma_L F_j^i \Big|_{x_1} \quad \nabla \sigma_L F_j^i \Big|_{x_2} \quad \dots \quad \nabla \sigma_L F_j^i \Big|_{x_p} \right]^T \\ Y_j^i &= \left[H_j^i \Big|_{x_1} \quad H_j^i \Big|_{x_2} \quad \dots \quad H_j^i \Big|_{x_p} \right]^T \end{aligned} \quad (17)$$

نماد ∇ بیانگر گرادیان و به معنای مشتق‌گیری برداری و نماد $F \Big|_{x_i}$ بیانگر محاسبه مقدار تابع F در نقطه x_i است. همچنین در این معادله،

1 Sigmoid

$$\begin{aligned} H(x, V_x, u, d) &= V_x^T (f + g u + k d) \\ &+ h^T h + 2 \int_0^u \phi^{-1}(v) dv - \gamma^2 \|d\|^2 \end{aligned} \quad (10)$$

همان‌طور که مشاهده می‌شود، با استفاده از روش پیشنهادشده، مسئله به نسخه بهینه‌سازی غیرمقید تبدیل شده است. با برابر قراردادن شرایط رابطه (۸) برای به دست آوردن کنترل کننده، بایستی معادله دیفرانسیل رابطه (۱۱) حل شود [۲۰].

$$\begin{aligned} V_x^T f - V_x^T g \phi \left(\frac{1}{2} g^T V_x \right) + h^T h \\ - \phi \left(\frac{1}{2} g^T V_x \right) \\ + 2 \int_0^u \phi^{-1}(v) dv + \frac{1}{4\gamma^2} V_x^T k k^T V_x = 0 \end{aligned} \quad (11)$$

این معادله در واقع حالت تعمیم‌یافته نامساوی همیلتون - ژاکوبی - ایزاک است که برای مسئله موردنظری در این مقاله دارای جواب بسته نیست. لذا در ادامه با استفاده از ادبیات سیستم‌های کنترل، شیوه محاسبه تابع (x) V با استفاده از یک الگوریتم بیان می‌شود. همچنین توجه شود که براساس خواص شبکه نرم تعریف شده، قانون کنترل به دست آمده قید اشباع تعريف شده را برآورده می‌کند.

در مرجع [۲۰] نشان داده شده است که می‌توان رابطه (۱۱) را با استفاده از یک الگوریتم با دو حلقه تکرار حل کرد، بدین صورت که با داشتن یک کنترل کننده ابتدایی پایدار کننده u در حلقه داخلی، ابتدا رابطه (۱۲) حل شود:

$$\left(V_{xj}^i \right)^T (f_j + k d^i) + h^T h + 2 \int_0^{u_j} \phi^{-T}(v) dv - \gamma^2 \|d^i\|^2 = 0 \quad (12)$$

که در آن $f_j(x) = f(x) + g(x)u_j$ است. در این حلقه، مقدار اغتشاش خارجی به صورت $d^{i+1} = \frac{1}{2\gamma^2} k^T V_{xj}^i$ محاسبه می‌شود. پس از آنکه در این حلقه، مقدار V_j^i به مقدار نهایی V_j^* رسید در حلقه خارجی، کنترل کننده با استفاده از رابطه (۱۳) محاسبه می‌شود.

$$u_{j+1} = -\phi \left(\frac{1}{2} g^T V_{xj}^* \right) \quad (13)$$

داریم:

برای بخش تکرار سیاست^۱، از شبکه عصبی با توابع فعال ساز چندجمله‌ای

از درجه دو و سه استفاده می‌شود [۲۰]. تعداد جملات در این حالت $L = 74$ بوده و اهداف مطرح شده برای مسئله را برآورده می‌کند. همچنین مقدار ابتدایی تضعیف در نظر گرفته شده برای حل همیلتون - ژاکوبی - ایزاك، $\gamma = 1.0$ است.

$$\begin{aligned} \sigma_L(x) = & [x_1 x_7, x_2 x_7, x_3 x_7, x_4 x_7, x_5 x_7, x_6 x_7, \\ & x_7^2, x_8 x_7, x_9 x_7, x_1 x_7^2, x_2 x_7^2, x_3 x_7^2, x_4 x_7^2, \\ & x_5 x_7^2, x_6 x_7^2, x_7^3, x_8 x_7^2, x_9 x_7^2, x_1^2 x_7, x_2 x_7^2, \\ & x_3 x_7^2, x_4 x_7^2, x_5 x_7^2, x_6 x_7^2, x_8 x_7^2, x_9 x_7^2, \\ & x_1 x_8, x_2 x_8, x_3 x_8, x_4 x_8, x_5 x_8, x_6 x_8, \\ & x_8^2, x_9 x_8, x_1 x_8^2, x_2 x_8^2, x_3 x_8^2, x_4 x_8^2, x_5 x_8^2, \\ & x_6 x_8^2, x_7 x_8^2, x_8^3, x_9 x_8^2, x_1^2 x_8, x_2^2 x_8, x_3^2 x_8, \\ & x_4^2 x_8, x_5^2 x_8, x_6^2 x_8, x_7^2 x_8, x_9^2 x_8, x_2 x_9, \\ & x_3 x_9, x_4 x_9, x_5 x_9, x_6 x_9, x_9^2, x_1 x_9^2, x_2 x_9^2, \\ & x_3 x_9^2, x_4 x_9^2, x_5 x_9^2, x_6 x_9^2, x_9^3, x_8 x_9^2, \\ & x_7 x_9^2, x_1^2 x_9, x_2^2 x_9, x_3^2 x_9, x_4^2 x_9, \\ & x_5^2 x_9, x_6^2 x_9, x_7^2 x_9, x_8^2 x_9] \end{aligned} \quad (20)$$

با فرض‌های در نظر گرفته شده، الگوریتم مطرح شده در شکل ۲ به خوبی اجرا گردید و مقدار $1 / \gamma = 0.001$ در پایان اجرای الگوریتم به دست آمد. وزن‌های شبکه عصبی به صورت رابطه (۲۱) هستند.

$$\begin{aligned} w = 40[& -1.14, 45.04, 22.67, -4.39, 1.89, \\ & -0.21, 4.25, -1.77, 1.42, -0.001, -0.16, \\ & 0.19, 0.01, 0.007, -0.008, 0.03, -0.025, \\ & -0.03, 4.1 \times 10^{-4}, -16.41, 28.5, 1.47 \times 10^{-4}, \\ & -6.2 \times 10^{-4}, 1.28 \times 10^{-4}, 0.004, 0.013, -1.08, \\ & -185.66, 82.76, -1.08, 4.37 \times 10^{-4}, 1.74, -0.88, \\ & -1.29, -3.01 \times 10^{-4}, -0.07, -0.026, 4.75 \times 10^{-4}, \\ & 1.78 \times 10^{-4}, 9.27 \times 10^{-4}, -0.004, -0.001, -0.001, \\ & 1.57 \times 10^{-4}, 17.64, -41.73, 9.71 \times 10^{-4}, 0.001, 2.73 \times 10^{-4}, \\ & 0.02, 0.018, 319.93, -52.82, 3.23, -0.62, -0.1968, 2.05, \\ & 0.002, -0.52, 0.28, 0.007, 0.003, -0.009, -0.08, \\ & -0.018, 0.027, -9.4 \times 10^{-4}, -18.1, 69.7, \\ & -2.08 \times 10^{-4}, 0.001, -4.95 \times 10^{-4}, -0.03, 0.001]^T \end{aligned} \quad (21)$$

$$H_j^i = h^T h + 2 \int_{\hat{\Omega}} \phi^{-1}(v) dv - \gamma^2 \|d^i\|^2 \quad (18)$$

شکل ۲ الگوریتم مطرح شده را به صورت کلی نشان می‌دهد [۲۱]. در این الگوریتم، ابتدا شرایط اولیه مناسب اعم از توابع هزینه، نرون‌های شبکه عصبی، ناحیه تقریب به همراه قانون کنترل پایدار مجانی اولیه و تعداد تکرار حلقه داخلی و خارجی انتخاب می‌شوند. پس از آن، با استفاده از رابطه (۱۶) وزن‌های شبکه عصبی و اغتشاش مربوط به آن به دست می‌آیند. این حلقه به میزان I_1 بار تکرار شده و پس از این تعداد تکرار، قانون کنترل به روزرسانی می‌شود، بدین معنا که قانون کنترل به دست آمده به عنوان شرایط اولیه سیستم در نظر گرفته می‌شود. این فرآیند به تعداد I_2 بار تکرار می‌شود و پس از آن، با کاهش مقدار تضعیف در کنترل کننده مقاوم و استفاده از آخرین کنترل کننده به عنوان شرایط اولیه جدید، الگوریتم تکرار می‌شود. همچنین الگوریتم مطرح شده، دارای اثبات پایداری با استفاده از نظریه پایداری لیاپانوف است که در اینجا از تکرار آن خودداری می‌شود.

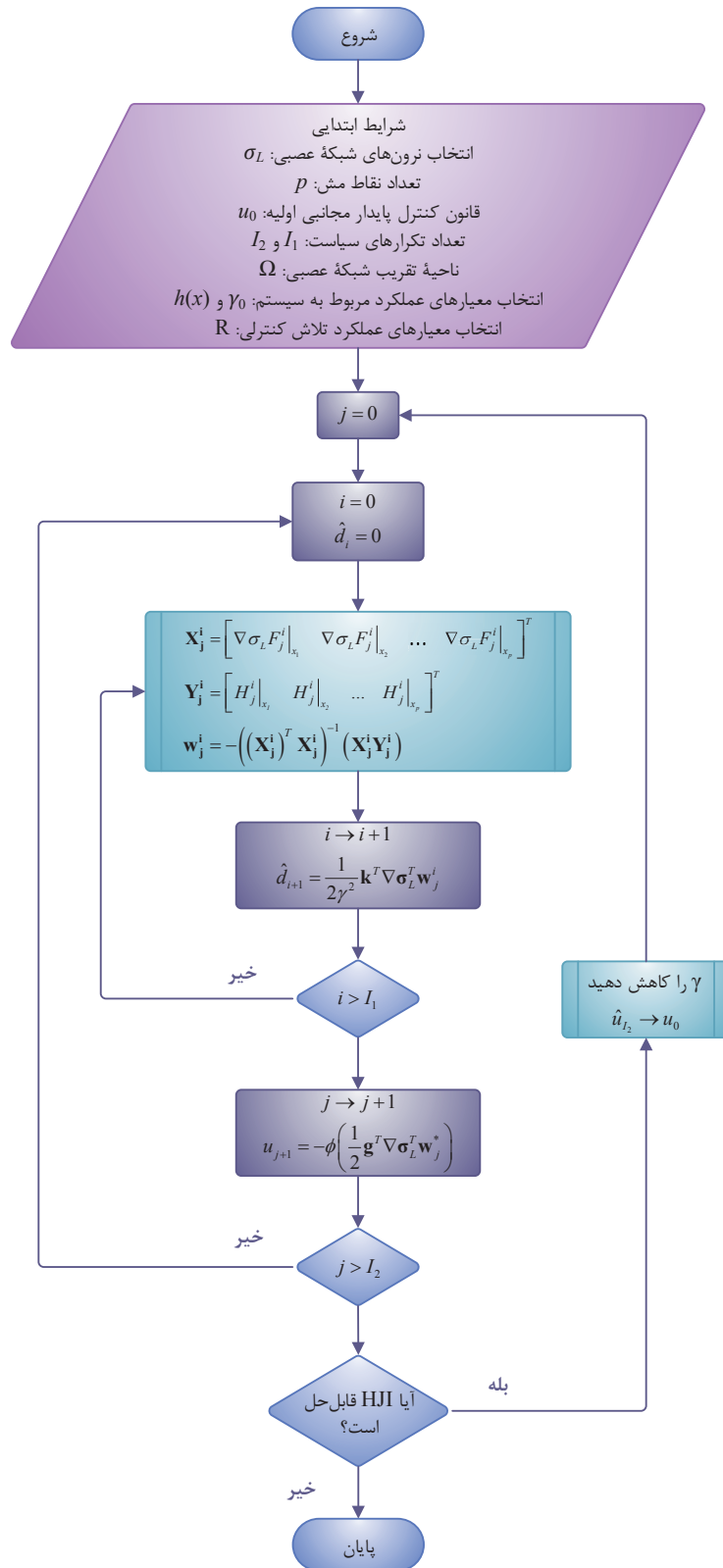
۵- نتایج شبیه‌سازی

در این بخش از مقاله، به شبیه‌سازی قانون هدایت مقاوم به دست آمده در مواجهه با اهداف با قدرت مانورهای مختلف می‌پردازیم. الگوریتم مطرح شده برای اجرا نیازمند انتخاب شرایط اولیه مناسب با مسئله تعریف شده می‌باشد. در این مسئله، این شرایط به همراه مقدار پارامترهای مربوط به درجات آزادی تعریف شده در رابطه (۶)، در رابطه (۱۹) داده شده‌اند.

$$u_0 = \begin{bmatrix} 50 \tanh(0.01x_4) \\ 50 \tanh(2x_5) \\ 50 \tanh(3x_6) \end{bmatrix}$$

$$\begin{cases} |x_1| \leq 6000 \\ |x_i| \leq \pi \quad i = 2, 3 \\ |x_i| \leq 500 \quad i = 4, 5, 6 \\ |x_i| \leq 200 \quad i = 7, 8, 9 \end{cases}, \quad \begin{cases} k_1 = 100 \\ k_2 = 1 \\ k_3 = 1 \end{cases} \quad (19)$$

$$\beta_i = 200 \quad i = 1, 2, 3, \quad \tau = 0.1$$



شکل ۲: الگوریتم طراحی کنترل مقادیر محدود با استفاده از برنامه‌ریزی پویای تطبیقی

Fig. 2. Design algorithm of robust constraint control using adaptive dynamic programming

لذا کنترل کننده با استفاده از وزن‌های به دست آمده رابطه (۲۱) به صورت رابطه (۲۲) خواهد بود.

$$\begin{aligned} w_r &= \lambda_r \sin(\omega t) \vec{e}_r \\ w_\theta &= \lambda_r \sin(\omega t) \frac{-\dot{\phi}}{\sqrt{\dot{\phi}^2 + \dot{\theta} \cos^2 \varphi}} \vec{e}_\theta \\ w_\varphi &= \lambda_r \sin(\omega t) \frac{\dot{\theta} \cos \varphi}{\sqrt{\dot{\phi}^2 + \dot{\theta} \cos^2 \varphi}} \vec{e}_\varphi \end{aligned} \quad (25)$$

که در این معادلات، $\omega = 10 \text{ rad/s}$ و λ یک عدد تصادفی در بازه $[0, 8g]$ است که برای شتاب پله و شبیه‌سازی علامت مثبت (هدف دورشونده از رهگیر) و برای شتاب سینوسی با علامت منفی (هدف نزدیک‌شونده به رهگیر) درنظر گرفته می‌شود. همچنین لازم به ذکر است که هدف انتخابی در دسته اهداف با قدرت مانور بالا قرار می‌گیرد که برای دستیابی به آن‌ها باید سرعت رهگیر از سرعت هدف بیشتر باشد. در خصوص اهداف با سرعت بالا، با توجه به محدودیت حرکتی رهگیر دفاعی بایستی از تنظیم زاویه برخورد و یا استفاده از سیستم‌های چندعامله استفاده کرد.

عملکرد روش پیشنهادی با قانون هدایت تناسبی افزوده شده تحت شرایط یکسان هدف برای هر دو قانون هدایت (طراحی شده و هدایت تناسبی افزوده شده) مقایسه شده و نتایج آن نیز ارائه می‌گردد. قانون هدایت تناسبی افزوده شده به صورت زیر است [۱]:

$$\begin{aligned} u_\theta &= -Nr\dot{\theta} + w_\theta \\ u_\varphi &= -Nr\dot{\varphi} + w_\varphi \end{aligned} \quad (26)$$

که در آن، پارامتر N برابر با ۴ درنظر گرفته می‌شود. همان‌طور که مشاهده می‌شود، در قانون هدایت تناسبی افزوده شده مؤلفه‌های شتاب هدف نیز مورد استفاده قرار می‌گیرد. از این‌رو بایستی این مقادیر اندازه‌گیری شوند که این مسئله برخلاف قانون طراحی شده در روش پیشنهادی در این مقاله است که در آن مقاومت قانون هدایت نسبت به مقدار شتاب هدف تضمین می‌گردد. جهت بررسی مقاومت قانون پیشنهادی به شتاب جسم، فرض می‌شود که در تمام حالت‌های تحت بررسی، اندازه‌گیری هر کدام از مؤلفه‌های شتاب هدف با نایقینی به شکل نویز سفید با $\sigma = 0.5 \mu$ و $\sigma = 5$ همراه است. همچنین کلیه شرایط شبیه‌سازی برای هر دو قانون هدایت یکسان درنظر گرفته شده‌اند و زمان لازم برای برخورد به همراه کمترین فاصله با هدف در جدول ۱ آورده شده‌اند.

$$u = -\beta \tanh\left(\frac{1}{2\beta} g^T(x) \nabla \sigma_L^T w\right) \quad (22)$$

سه دسته شبیه‌سازی بر حسب نوع شتاب جسم هدف (اغتشاش خارجی) در فضای سه بعدی انجام شده است. در تمامی موارد، شرایط ابتدایی به گونه‌ای در نظر گرفته شده است که رهگیر و هدف در یک صفحه قرار نگرفته باشند. این ملاحظات در رابطه‌های (۲۳) تا (۲۵) آورده شده‌اند [۲۲].

(۱) هدف با شتاب پله

$$\begin{aligned} \left[r(0), \theta(0), \varphi(0), V_r(0), V_\theta(0), V_\varphi(0) \right]^T &= \\ \left[4\text{km}, \frac{\pi}{3}, \frac{\pi}{3}, -500 \frac{\text{m}}{\text{s}}, 200 \frac{\text{m}}{\text{s}}, 300 \frac{\text{m}}{\text{s}} \right]^T \\ w_r &= \lambda_r \vec{e}_r \\ w_\theta &= \lambda_r \frac{-\dot{\phi}}{\sqrt{\dot{\phi}^2 + \dot{\theta} \cos^2(\varphi)}} \vec{e}_\theta \\ w_\varphi &= \lambda_r \frac{\dot{\theta} \cos(\varphi)}{\sqrt{\dot{\phi}^2 + \dot{\theta} \cos^2(\varphi)}} \vec{e}_\varphi \end{aligned} \quad (23)$$

(۲) هدف با شتاب شبیه

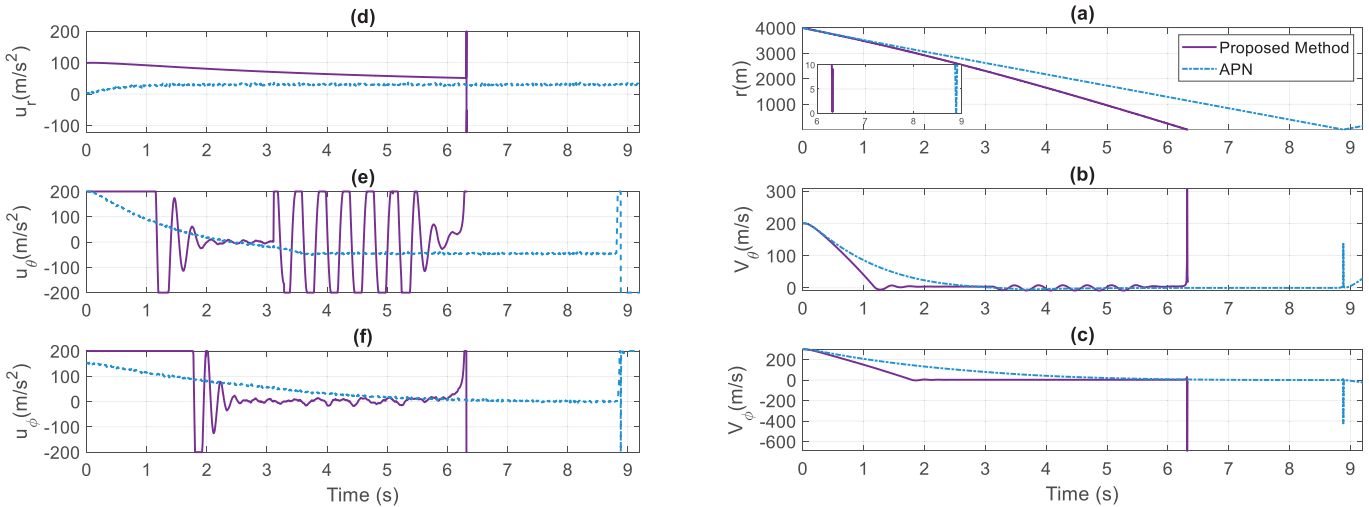
$$\begin{aligned} \left[r(0), \theta(0), \varphi(0), V_r(0), V_\theta(0), V_\varphi(0) \right]^T &= \\ \left[5\text{km}, \frac{\pi}{3}, \frac{\pi}{3}, -500 \frac{\text{m}}{\text{s}}, 300 \frac{\text{m}}{\text{s}}, 300 \frac{\text{m}}{\text{s}} \right]^T \\ w_r &= \lambda_r t \vec{e}_r \\ w_\theta &= \lambda_r t \frac{-\dot{\phi}}{\sqrt{\dot{\phi}^2 + \dot{\theta} \cos^2(\varphi)}} \vec{e}_\theta \\ w_\varphi &= \lambda_r t \frac{\dot{\theta} \cos(\varphi)}{\sqrt{\dot{\phi}^2 + \dot{\theta} \cos^2(\varphi)}} \vec{e}_\varphi \end{aligned} \quad (24)$$

(۳) هدف با شتاب سینوسی

Table 1. Impact time for designed guidance law and APN for different target maneuver

جدول ۱: زمان برخورد بر حسب ثانیه برای قانون هدایت طراحی شده و هدایت تناسی افزوده شده با تغییر شتاب هدف

قانون هدایت تناسی افزوده شده		روش پیشنهادی		نوع شتاب هدف
کمترین فاصله (متر)	زمان برخورد (ثانیه)	کمترین فاصله (متر)	زمان برخورد (ثانیه)	
۸,۸۱	۰,۱	۶,۳۰	۰,۲۵	پله
عدم برخورد	۷,۰۰	۷,۷۸	۰,۳	شیب
۶,۸۴	۱,۳	۶,۱۱	۰,۱	سینوس

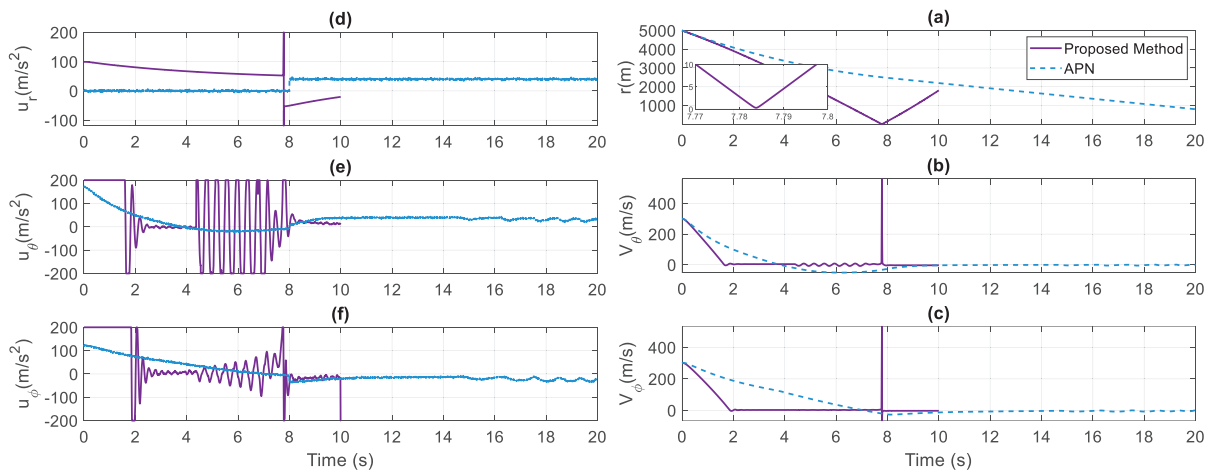


شکل ۳: نتایج شبیه‌سازی قانون هدایت مقاوم و قانون هدایت تناسی افزوده شده برای هدف دارای شتاب پله: (a) فاصله رهگیر و هدف، (b) سرعت پیچش زاویه θ , (c) سرعت پیچش زاویه ϕ و (d), (e), (f) تلاش کنترلی در راستای محورهای r, θ, ϕ

Fig. 3. Simulation results for robust guidance law and APN for a target with step maneuver: (a) distance between target and interceptor, (b) elevation angle rate, (c) azimuth angle rate, (d), (e), and (f) control efforts along r , θ , and ϕ axes

تعیین شده محقق شده است. از سوی دیگر قانون هدایت تناسی افزوده شده عملکرد ضعیفتری نسبت به روش پیشنهادی دارد، زیرا در ثانیه ۶,۳ تحت هدایت قانون طراحی شده رهگیر به هدف برخورد کرده است، فاصله نسبی رهگیر و هدف برای هدایت تناسی افزوده شده، ۱۱۵۰ متر است و برخورد در ثانیه ۸/۸ رخ می‌دهد که در شرایط حساس برخورد، این زمان طولانی‌تر مورد رضایت نمی‌باشد. در این قسمت به شبیه‌سازی قانون هدایت طراحی شده و قانون هدایت

شکل ۳ نتایج شبیه‌سازی قانون هدایت مقاوم طراحی شده و هدایت تناسی افزوده شده را برای هدف با شتاب پله نشان می‌دهد. در این نسخه از شبیه‌سازی، فرض می‌شود که شتاب هدف با ثابت زمانی ۰,۳ ثانیه در دسترس الگوریتم هدایت تناسی افزوده شده قرار می‌گیرد. همان‌طور که از شکل ۳ مشاهده می‌شود، کنترل کننده طراحی شده به خوبی توانسته است برخورد را با به صفر رساندن فاصله و نرخ پیچش زاویه‌های θ و ϕ محقق سازد. همچنان این مسئله با قرار گرفتن مقدار قانون کنترل در محدوده مجاز



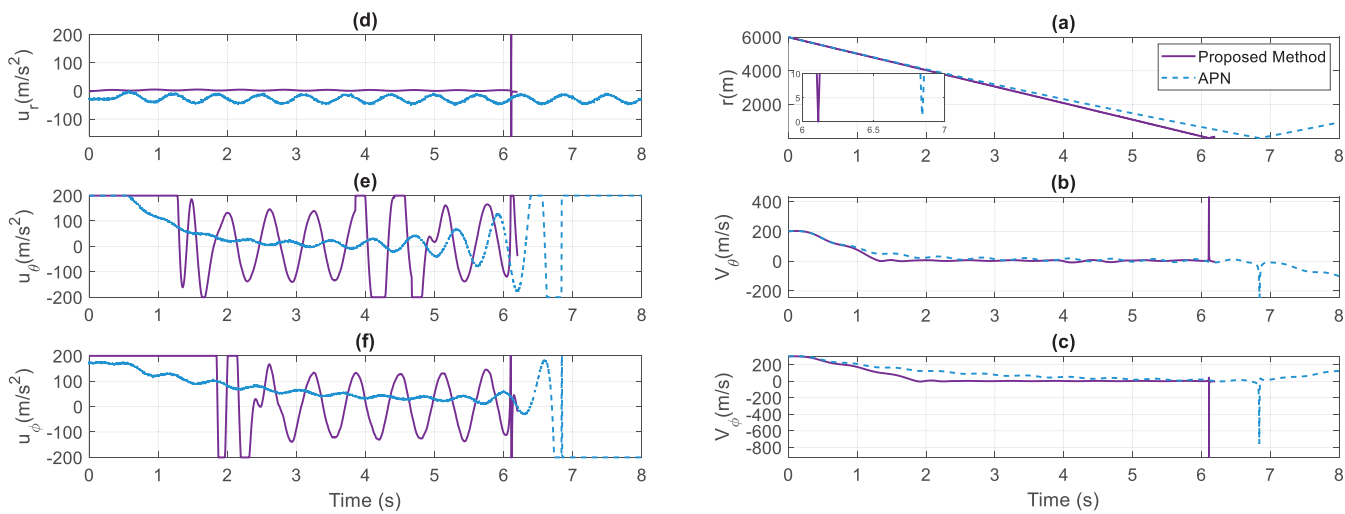
شکل ۴: نتایج شبیه‌سازی قانون هدایت تناسبی افزوده شده برای هدف دارای شتاب شیب: (a) فاصله رهگیر و هدف، (b) سرعت پیچش زاویه θ ، (c) سرعت پیچش زاویه ϕ ، (d)، (e) و (f) تلاش کنترلی در راستای محورهای r ، θ و ϕ

Fig. 4. Simulation results for robust guidance law and APN for a target with ramp maneuver: (a) distance between target and interceptor, (b) elevation angle rate, (c) azimuth angle rate, (d), (e), and (f) control efforts along r , θ , and ϕ axes

واعقیت‌های موجود در مورد اندازه‌گیری شتاب هدف همخوانی دارد. شکل ۵ نتایج شبیه‌سازی قانون هدایت طراحی شده و هدایت تناسبی افزوده شده برای هدفی با این نوع شتاب نشان می‌دهد. همان‌طور که از شکل‌های (a) تا (c) می‌توان مشاهده کرد قانون هدایت طراحی شده با موفقیت توانسته است برخورد رهگیر با هدف را در کمتر از ۱۱ ثانیه محقق سازد؛ اما از سوی دیگر قانون هدایت تناسبی افزوده شده، در این حالت عملکرد مناسبی نداشته و نمی‌تواند فاصله نسبی بین جسم و هدف را به کمتر از یک متر برساند. در خصوص پیچش زاویه‌های سمت V_θ و فراز V_ϕ نیز می‌توان گفت که نتیجه حاصل از شبیه‌سازی هدایت تناسبی افزوده شده، دینامیک کنترلی در قیاس با روش پیشنهادی دارد و در لحظه تغییر علامت فاصله نسبی مقدار غیرصفر دارند. بررسی مقدار تلاش کنترلی لازم برای حالت‌های شبیه‌سازی صورت‌گرفته نشان می‌دهد که نوع شتاب هدف به صورت مستقیم در خروجی کنترلی قانون هدایت تناسبی افزوده شده ظاهر می‌شود. از این‌رو وجود نویز سفید در اندازه‌گیری، باعث اعمال آن به محرک‌های رهگیر نیز خواهد شد که قانون کنترلی طراحی شده از این جهت نیز دارای برتری قابل توجهی است؛ زیرا نسبت به نوع شتاب هدف و وجود نویز اندازه‌گیری در آن مقاوم است.

تناسبی افزوده شده در مقابل اهداف با شتاب شیب می‌پردازم. از جمله مشکلات موجود در اندازه‌گیری شتاب هدف وجود قطعی سیگنال بهدلیل از کارافتادن سنسور و یا روئیت‌گر شتاب است. برای اعمال این مشکل، در این قسمت فرض می‌شود که در ۸ ثانیه ابتدایی پرواز رهگیر، هیچ‌گونه اطلاعاتی پیرامون شتاب به الگوریتم‌های هدایت نمی‌رسد. نتایج شبیه‌سازی قانون هدایت رهگیر طراحی شده و قانون هدایت تناسبی افزوده شده برای این شبیه‌سازی در شکل ۴ نشان داده شده است. همان‌طور که شکل‌های (a) تا (c) نشان می‌دهد، قانون هدایت طراحی شده به خوبی توانسته است خواسته مسئله، یعنی برخورد موفقیت‌آمیز با هدف، را در ۷.۷۸ ثانیه به سرانجام برساند، این در حالی است که بهدلیل قدرت بالای مانور هدف، قانون هدایت هدایت تناسبی افزوده شده اگرچه توانسته است پیچش زوابای سمت V_θ و فراز V_ϕ را به صفر برساند، اما این قانون در نهایت نتوانسته برخورد موفقیت‌آمیز با هدف را برآورده کند.

در این قسمت به بررسی عملکرد قانون هدایت طراحی شده برای اهداف دارای شتاب سینوسی که از جمله اهداف با دستیابی مشکل محسوب می‌شوند، می‌پردازیم. همچنین فرض می‌گردد که شتاب اندازه‌گیری شده هدف دارای بایاس -۳۰° و تأخیر ۳۰° ثانیه نیز می‌باشد که این مسئله با



شکل ۵: نتایج شبیه‌سازی قانون هدایت مقاوم و قانون هدایت تناسی افزوده شده برای هدف دارای شتاب سینوسی: (a) فاصله رهگیر و هدف، (b) سرعت پیچش زاویه θ ، (c) سرعت پیچش زاویه ϕ ، (d)، (e) و (f) تلاش کنترلی در راستای محورهای r, θ, ϕ

Fig. 5. Simulation results for robust guidance law and APN for a target with sine maneuver: (a) distance between target and interceptor, (b) elevation angle rate, (c) azimuth angle rate, (d), (e), and (f) control efforts along r , θ , and ϕ axes

آن بوده که این موارد در شبیه‌سازی‌های صورت‌گرفته به خوبی نشان داده شده‌اند.

۷- فهرست علائم

علائم انگلیسی

فضای برداری n بعدی	R^n
فاصله نسبی رهگیر و هدف در راستای خط دید	r
شتاب اعمالی به رهگیر در راستای r ، θ و ϕ	u_ϕ, u_θ, u_r
سرعت نسبی در راستای r ، θ و ϕ	V_ϕ, V_θ, V_r
شتاب هدف در راستای r ، θ و ϕ	w_ϕ, w_θ, w_r
بردارهای یکدستگاه مختصات کروی	e_ϕ, e_θ, e_r
مؤلفه‌های شتاب اعمالی رهگیر در دستگاه کروی	$u_{M\phi}, u_{M\theta}, u_{Mr}$
بردار حالت	$x(t)$
میدان برداری	$f(x)$
بردار شتاب هدف	$u(t)$
بردار اغتشاش	$d(t)$
تابع مقدار	V
مشتق تابع مقدار	V_x
پارامترهای وزن دهنده	k_3, k_2, k_1

در خصوص نقطه ضعف قانون هدایت مقاوم پیشنهادی، می‌توان به نوسانات شدید آن در هر سه حالت شبیه‌سازی اشاره کرد که دلیل آن هم جریان نبود اطلاعات از شتاب هدف می‌باشد. لازم به ذکر است که با به کارگیری محرک‌های با پهنه‌ای باند مناسب می‌توان سیگنال طراحی شده را در عمل نیز پیاده‌سازی کرد.

۶- نتیجه‌گیری

در این مقاله، با استفاده از برنامه‌ریزی پویای تطبیقی به طراحی قانون هدایت مقاوم برای رهگیر زمین به هوا با درنظر گرفتن دینامیک مرتبه اول برای سیستم خودخلبان و همچنین قید اشباع ورودی‌ها در فضای سه‌بعدی کروی پرداخته شد. بدین منظور، پس از مدل‌سازی مسئله مورد مطالعه در فضای سه‌بعدی کروی به منظور برقراری شرایط برخورده، طراحی قانون هدایت به صورت یک بازی مجموع صفر برای دستی‌ابی به برخورد رهگیر به هدف فرمول‌بندی گردید. در ادامه، با استفاده از نظریه برنامه‌ریزی پویای تطبیقی، الگوریتم محاسبه قانون کنترل مقاوم برای هدایت رهگیر و حل مسئله نامساوی دیفرانسیلی همیلتون - ژاکوبی - ایزاك ارائه شد. مهم‌ترین مزیت قانون هدایت طراحی شده نسبت به قانون هدایت تناسی افزوده شده، عدم نیاز به اندازه‌گیری شتاب هدف و در نتیجه آن، مقاومت نسبت به

3346.

- [6] G.L. Li, H. Yan, H.-B. Ji, A guidance law with finite time convergence considering autopilot dynamics and uncertainties, International Journal of Control, Automation and Systems, 12(5) (2014) 1011-1017.
- [7] Z. Zhang, S. Li, S. Luo, Terminal guidance laws of missile based on ISMC and NDOB with impact angle constraint, Aerospace Science and Technology, 31(1) (2013) 30-41.
- [8] J. Song, S. Song, Three-dimensional guidance law based on adaptive integral sliding mode control, Chinese Journal of Aeronautics, 29(1) (2016) 202-214.
- [9] V. Rajasekhar, A. Sreenatha, Fuzzy logic implementation of proportional navigation guidance, Acta Astronautica, 46(1) (2000) 17-24.
- [10] B.S. Chen, Y.Y. Chen, C.-L. Lin, Nonlinear fuzzy H_∞ guidance law with saturation of actuators against maneuvering targets, IEEE Transactions on Control Systems Technology, 10(6) (2002) 769-779.
- [11] C.D. Yang, H.Y. Chen, Nonlinear H robust guidance law for homing missiles, Journal of Guidance, Control, and Dynamics, 21(6) (1998) 882-890.
- [12] A.V. Savkin, P.N. Pathirana, F.A. Faruqi, Problem of precision missile guidance: LQR and H_∞ control frameworks, IEEE Transactions on Aerospace and Electronic Systems, 39(3) (2003) 901-910.
- [13] C.S. Shieh, Tunable H_∞ robust guidance law for homing missiles, IEE Proceedings-Control Theory and Applications, 151(1) (2004) 103-107.
- [14] C.D. Yang, H.Y. Chen, Three-dimensional nonlinear H_∞ guidance law, International Journal of Robust and Nonlinear Control: IFAC-Affiliated Journal, 11(2) (2001) 109-129.
- [15] J. Sun, C. Liu, Finite-horizon differential games for

همیلتونین	H
وزن در شبکه عصبی	w
تعداد مش	p
تعداد تکرارهای سیاست	I_2, I_1
شرایط اولیه شبیه‌سازی	u_0
نسبت ناوبری مؤثر	N
تعداد لایه‌های پنهان شبکه عصبی	L
علائم یونانی	
مقدار تضعیف اغتشاش خارجی	γ
ثابت زمانی خودخلبان	τ
زاویه سمت خط دید	θ
زاویه فراز خط دید	φ
حد تلاش کنترلی	$\beta_3, \beta_2, \beta_1$
تابع استفاده شده در تعریف شبکه نرم	$\phi(\cdot)$
تابع فعالساز شبکه عصبی	σ_i
ناحیه تقریب شبکه عصبی	Ω
عدد تصادفی برای شتاب هدف	λ
میانگین نویز سفید	μ
انحراف معیار نویز سفید	σ

منابع

- [1] A.E. Bryson, Applied optimal control: optimization, estimation and control, Routledge, 2018.
- [2] R. Yanushevsky, W. Boord, New approach to guidance law design, Journal of Guidance, Control, and Dynamics, 28(1) (2005) 162-166.
- [3] Y. Shtessel, C. Edwards, L. Fridman, A. Levant, Sliding mode control and observation, Springer, 2014.
- [4] Y.B. Shtessel, I.A. Shkolnikov, A. Levant, Guidance and control of missile interceptor using second-order sliding modes, IEEE Transactions on Aerospace and Electronic Systems, 45(1) (2009) 110-124.
- [5] S. Phadke, S.E. Talole, Sliding mode and inertial delay control based missile guidance, IEEE Transactions on Aerospace and Electronic Systems, 48(4) (2012) 3331-

- 779-791.
- [19] T.M. Apostol, Mathematical analysis, Addison-Wesley Reading, 1964.
- [20] M. Abu-Khalaf, F.L. Lewis, J. Huang, Policy iterations on the Hamilton–Jacobi–Isaacs equation for H^∞ state feedback control with input saturation, *IEEE Transactions on Automatic Control*, 51(12) (2006) 1989-1995.
- [21] M. Abu-Khalaf, F.L. Lewis, J. Huang, Neurodynamic programming and zero-sum games for constrained control systems, *IEEE Transactions on Neural Networks*, 19(7) (2008) 1243-1252.
- [22] C.F. Lin, Modern navigation, guidance, and control processing, Prentice Hall Englewood Cliffs, NJ, 1991.
- missile–target interception system using adaptive dynamic programming with input constraints, *International Journal of Systems Science*, 49(2) (2018) 264-283.
- [16] J. Sun, C. Liu, Q. Ye, Robust differential game guidance laws design for uncertain interceptor-target engagement via adaptive dynamic programming, *International Journal of Control*, 90(5) (2017) 990-1004.
- [17] F.P. Adler, Missile guidance by three-dimensional proportional navigation, *Journal of Applied Physics*, 27(5) (1956) 500-507.
- [18] M. Abu-Khalaf, F.L. Lewis, Nearly optimal control laws for nonlinear systems with saturating actuators using a neural network HJB approach, *Automatica*, 41(5) (2005)